

УДК 539.43

А.С.Мостовой, В.М.Дуплякин, А.Г.Прохоров, В.Г.Юдин

ПРОГНОЗИРОВАНИЕ УСТАЛОСТНОЙ ДОЛГОВЕЧНОСТИ
СТАЛЬНЫХ ПРОУШИН НА СТАДИИ ПРОЕКТИРОВАНИЯ ИЗДЕЛИЯ

Усталостная долговечность отдельных деталей и узлов в значительной степени лимитирует надежность и ресурс проектируемой конструкции в целом. Поэтому весьма важно иметь количественную оценку усталостных свойств деталей конструкции.

В данной статье рассматривается определение долговечности и прогнозирование закономерностей усталостного разрушения проушин крепления закрылка самолета ТУ-154 (рис. 1а) в зависимости

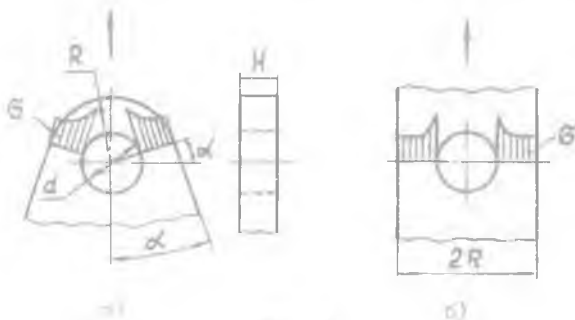


Рис. 1

от геометрии, определяемой коэффициентом $n = \frac{2R}{d}$. Размеры проушин: $H = 10$ мм, $d = 10$ мм и $\alpha = 30^\circ$, материал 30ХГСА.

Проведем статистический анализ возможностей появления первой макротрещины и прогнозирование кинетики роста трещины. Последнее делает возможным проектирование с учетом безопасной повреждаемости.

Сначала построим кривые усталости по моменту появления первой макротрещины с вероятностью $P = 0,01$ и $P = 0,99$ для $n = \frac{2R}{d} = 1,5; 2; 5$. При этом воспользуемся теорией "слабого звена", разработанной для расчета выносливости деталей машин в статистическом аспекте [1]. Модифицированная методика применения этой теории, изложенная в [2], позволяет повысить представительность экспериментальных данных. В качестве исходных данных, характеризующих усталостную прочность материала, были использованы экспериментальные кривые усталости по моменту появления первой микротрещины в плоских образцах с отверстием и в круглых гладких образцах, работающих при плоском изгибе.

Из теории "слабого звена" известно, что вероятность разрушения $P(\sigma_{max})$ при напряжении σ_{max} определяется выражением, учитывающим распределение прочности отдельных элементов в форме распределения, предложенного Вейбуллом [4]:

$$P(\sigma_{max}) = 1 - \exp\left[-\int_F \left(\frac{\sigma - u}{\sigma_0}\right)^m dF\right], \quad (1)$$

где σ - текущее напряжение в точке сечения, u , σ_0 , m - параметры распределения Вейбулла, F - часть сечения, где $\sigma > u$.

Проинтегрировав уравнение (1) для конкретных типов образцов, можно получить систему уравнений для определения параметров исходного распределения Вейбулла в случае изгиба плоских образцов с отверстием в виде [2]:

$$m = \left[\left(\ln \frac{J_1 \sigma_{max1}^2}{J_2 \sigma_{max2}^2} \right) / \left(\ln \frac{\sigma_{max1} - u}{\sigma_{max2} - u} \right) \right] - 2,$$

$$\sigma_0 = \left[\frac{2h(\sigma_{max1} - u)^{m+2}}{\bar{G} J_1 \sigma_{max1}^2 (m+1)(m+2)} \right]^{1/m},$$

$$u = \left[81,17 \int_{u_0}^1 (2z-1)^m \sqrt{1-z^2} dz \right]^{-1/m} \sigma_0. \quad (2)$$

Здесь $J_i = -\ln[1 - P(\sigma_{maxi})]$, $\bar{G} = \frac{d\sigma}{d\varepsilon} \frac{1}{\sigma_{max}}$, h - толщина образца.

Для круглых гладких образцов, работающих при плоском изгибе, можно получить систему уравнений для определения параметров Вейбулла в виде

$$m = \left(\ln \frac{\sigma_a}{U} \right)^{-1} \ln \left\{ \frac{d^2}{J} \left[\int_{\xi}^1 \left(\frac{\sigma_{max}}{U} z - 1 \right)^m \sqrt{1-z^2} dz \right] \right\},$$

$$\sigma_a = U \left(\frac{d^2}{J} \right)^{1/m} \left[\int_{\xi}^1 \left(\frac{\sigma_{max}}{U} z - 1 \right)^m \sqrt{1-z^2} dz \right]^{1/m},$$

$$U = \left[81,17 \int_{0,5}^1 (2z-1)^m \sqrt{1-z^2} dz \right]^{-1/m} \sigma_a. \quad (3)$$

Здесь $J = -\ln[1-P(\sigma_{max})]$, $\xi = \frac{\sigma_{max}}{U}$, d - диаметр образца.

Приняв расчетную схему, как показано на рис. 1б, и сохранив равенство градиентов напряжений на рис. 1а и 1б, воспользуемся зависимостью, описывающей появление первой макротрещины в случае пульсирующего растяжения плоского образца с отверстием [1]:

$$\ln[1-P(\sigma_{max})] = \frac{1}{m+1} \frac{2h}{b} \frac{1}{\sigma_c^m} \left(\frac{\sigma_{max}-U}{\sigma_{max}} \right)^{m+1} \quad (4)$$

Осредненные кривые усталости по моменту появления первой макротрещины с вероятностью $P = 0,01$ и $P = 0,99$, рассчитанные с использованием зависимости (4) и параметров Вейбулла, определенных из систем уравнений (2) и (3), представлены на рис. 2 для проушин с различной геометрией.

При прогнозировании кинетики разрушения воспользуемся методикой, согласно которой опасное сечение детали рассматривается в виде совокупности отдельных элементов-волокон [3]. Предполагается, что суммирование усталостных повреждений в отдельном волокне подчиняется линейному закону и что кривая усталости волокна тождественна с кривой усталости детали по моменту появления первой макротрещины.

Согласно этим представлениям величина $\left(\frac{dt}{dx} \right)_k$, обратная скорости распространения трещины по координате x , определяется рекуррентной зависимостью [3]:

$$\left(\frac{dt}{dx} \right)_k = \frac{N_{k+1}^{n+1}}{\Delta x_k} \left[t_0 \left(\frac{1}{N_{k+1}^n} - \frac{1}{N_k^n} \right) + \sum_{n=1}^k \left(\frac{dt}{dx} \right)_{n-1} \left(\frac{1}{N_{k+1}^n} - \frac{1}{N_n^n} \right) \Delta x_{n-1} \right] \quad (5)$$

Здесь t_0 - время появления первой макротрещины, σ_k^n - напряжение в волокне "к" в момент разрушения волокна "n", N_k^n - число циклов, соответствующее появлению трещины в волокне "к" при действии напряжения σ_k^n (определяется с помощью кривой усталости детали по моменту появления первой макротрещины с соответствующей вероятностью).

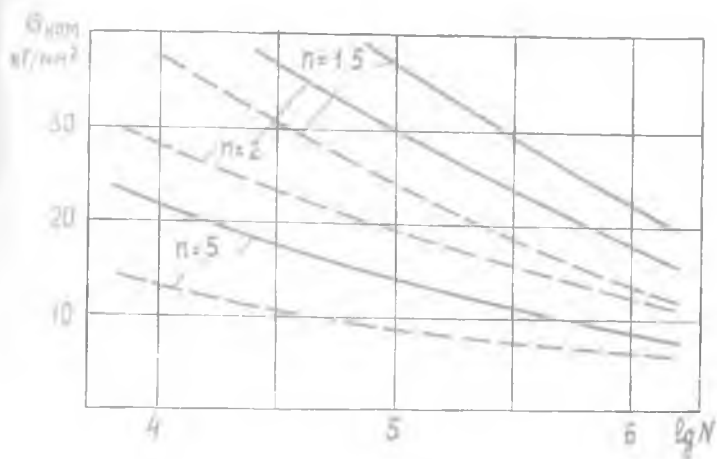


Рис. 2

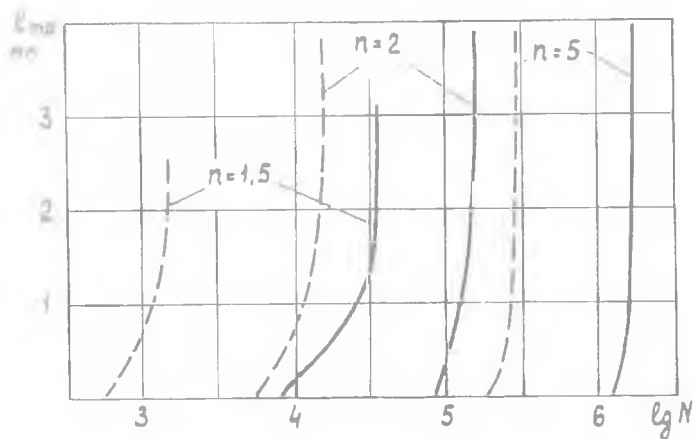


Рис. 3

Распределение напряжений в опасном сечении проушины до момента возникновения первой макротрещины определяется с помощью известного решения задачи Ляме для толстостенного сосуда, находящегося под воздействием внутреннего давления. После возникновения трещины поле напряжений в ее окрестности определяется с использованием методов линейной механики разрушения.

Проинтегрировав уравнение (5) для проушин со значением $n = 1,5; 2; 5$ при внешних нагрузках, равных эксплуатационным, получим данные по распространению трещин (рис. 3), служащие основанием для выбора размеров проушины. В данном случае выбирается проушина со значением $n = 2$, имеющая требуемую долговечность и обладающая достаточной живучестью (время распространения трещины до разрушения составляет 7600 циклов, отношение времени разрушения к времени появления трещины 2,52). Для этой проушины рассчитываются кривые усталости по окончательному разрушению с вероятностями $P = 0,01$ и $P = 0,99$.

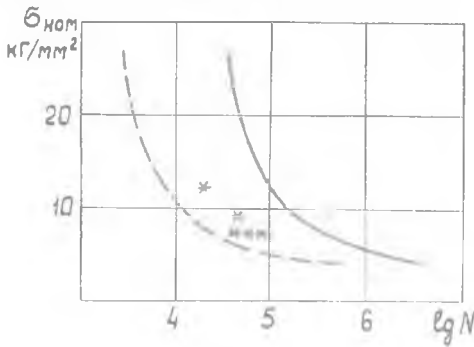


Рис. 4

Были испытаны пять проушин со значением $n = 2^*$). Результаты эксперимента и соответствующие расчетные кривые представлены на рис. 4.

Изложенная методика выступает как эффективное аналитическое средство исследования усталостной долговечности, тем более цен-

ное, что оно может быть использовано до того, как будет изготовлена опытная партия натуральных образцов. Кроме того, применение аналитических методов определения долговечности и кинетики разрушения позволяет сократить объем натуральных испытаний, которые могут быть сведены к испытанию небольшой партии деталей выбранного типоразмера.

*) Эксперимент проведен под руководством И.В.Якобсона.

Л и т е р а т у р а

1. Когаев В.П. Определение расчетных характеристик выносливости деталей машин. В сб. "Механическая усталость в статистическом аспекте". М., "Наука", 1969.

2. Дуплякин В.М., Мостовой А.С. К вероятностному расчету кривых усталости деталей по результатам испытаний лабораторных образцов. В сб. "Вопросы прочности элементов авиационных конструкций". Межвузовский сборник, вып. I, Куйбышев, 1974.

3. Мостовой А.С. Определение долговечности образца на основе некоторых представлений о механизме усталостного разрушения. В сб. "Вопросы прочности элементов авиационных конструкций". Труды КуАИ, вып. 39, Куйбышев, 1968.

4. W. Weibull, Proc. Roy. Swed. Inst. Eng. Research, 1939, № 151.